

## ДЕФОРМИРОВАНИЕ КРУГОВЫХ АРОК, ЗАГРУЖЕННЫХ ВЕРТИКАЛЬНЫМИ НАГРУЗКАМИ, РАСПРЕДЕЛЕННЫМИ ПО ПАРАБОЛИЧЕСКОЙ ЗАВИСИМОСТИ

Деформированный вид арок будет определен, если будут известны перемещения точек осей арок. Для определения перемещений воспользуемся формулой Мора [1]:

$$\Delta_{iP} = \sum \int \frac{\bar{M}_i M_P ds}{EJ} + \sum \int \eta \frac{\bar{Q}_i Q_P ds}{GA} + \sum \int \frac{\bar{N}_i N_P ds}{EA}. \quad (1)$$

Подставив в эту формулу зависимости изменения грузовых (от действия внешних нагрузок) и единичных (от действия единичной силы, приложенной в направлении искомого перемещения) эпюр усилий и выполнив интегрирование по участкам непрерывности эпюр и суммирование по этим участкам, получим искомое перемещение. В выражение для определения перемещений (1) входит три слагаемых, учитывающих соответственно действие трех видов, возникающих в системе внутренних сил  $M$ ,  $Q$  и  $N$  и соответственно изгибных, сдвиговых и продольных деформаций. Вычисляя эти слагаемые отдельно, можно выявить влияние изгибных, сдвиговых и продольных деформаций на величины перемещений точек системы.

Для определения вертикальных перемещений сечений приложим к произвольной точке на оси сечения вертикальную единичную силу (рисунок 1) и от ее действия найдем опорные реакции и зависимости изменения внутренних сил.

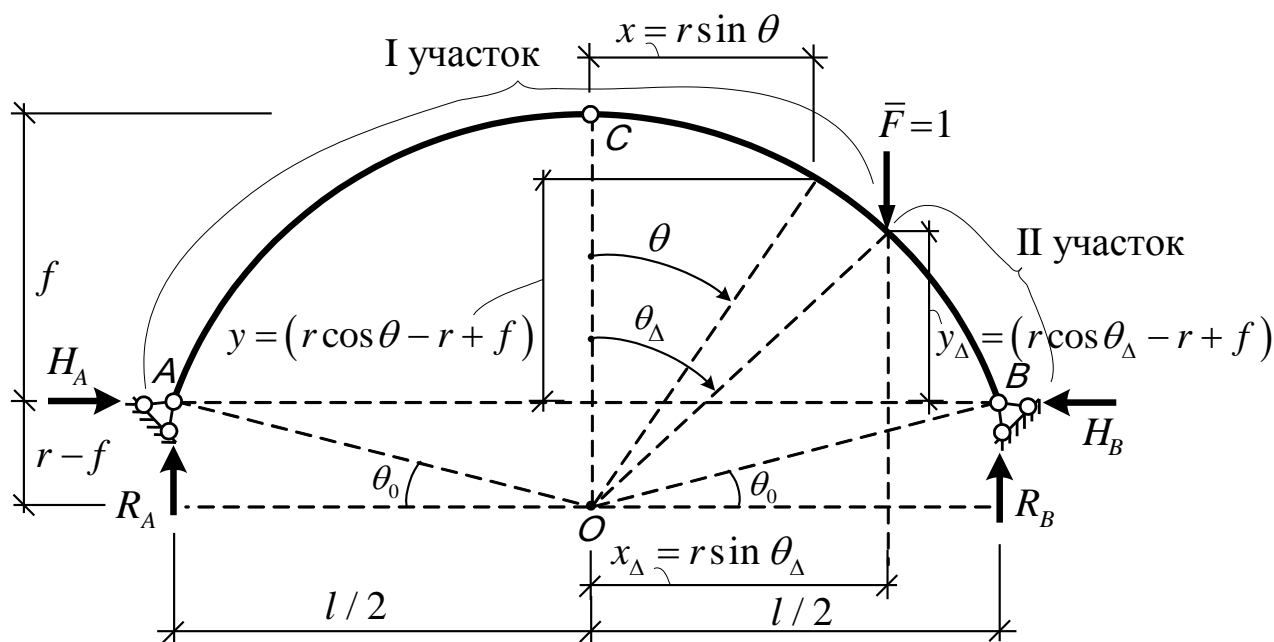


Рисунок 1 – Приложение единичной силы для определения вертикальных перемещений

Опорные реакции найдем из уравнений равновесия арки в целом и ее полуарок:

$$R_A = \frac{1}{2} - \frac{r}{l} \sin \theta_\Delta. \quad R_B = \frac{1}{2} + \frac{r}{l} \sin \theta_\Delta. \quad H_A = H_B = \frac{l}{4f} \left( 1 - \frac{2r}{l} \sin \theta_\Delta \right).$$

Изгибающий момент, продольная и поперечная силы в сечениях арки от действия единичной вертикальной силы определяются выражениями:

а) на участке от опоры  $A$  до точки приложения силы (участок I) (рисунок 1):

$$\begin{aligned} \bar{M}_{\Delta\epsilon(I)} &= R_A \left( \frac{l}{2} + x \right) - H_A \cdot y = R_A \left( \frac{l}{2} + r \sin \theta \right) - H_A (r \cos \theta - r + f) = \\ &= \left( \frac{1}{2} + \frac{r}{l} \cos \theta_\Delta \right) \left( \frac{l}{2} - r \cos \theta \right) - \frac{l}{2f} \left( \frac{1}{2} - \frac{r}{l} \cos \theta_\Delta \right) r \left( \sin \theta - 1 + \frac{f}{r} \right) = \\ &= \left\{ r \left[ \frac{l}{4f} + \left( 1 - \frac{r}{2f} \right) \cos \theta_\Delta \right] \right\} + \left[ -r \left( \frac{1}{2} + \frac{r}{l} \cos \theta_\Delta \right) \right] \cos \theta + \left[ \frac{r}{f} \left( \frac{r}{2} \cos \theta_\Delta - \frac{l}{4} \right) \right] \sin \theta; \\ \bar{Q}_{\Delta\epsilon(I)} &= R_A \sin \theta - H_A \cos \theta = \left( \frac{1}{2} + \frac{r}{l} \cos \theta_\Delta \right) \sin \theta - \frac{l}{4f} \left( 1 - \frac{2r}{l} \cos \theta_\Delta \right) \cos \theta; \quad (2) \end{aligned}$$

$$\bar{N}_{\Delta\epsilon(I)} = -H_A \sin \theta - R_A \cos \theta = -\frac{l}{4f} \left( 1 - \frac{2r}{l} \cos \theta_\Delta \right) \sin \theta - \left( \frac{1}{2} + \frac{r}{l} \cos \theta_\Delta \right) \cos \theta;$$

б) на участке от точки приложения силы до опоры  $B$  (участок II) (рисунок 1):

$$\begin{aligned} \bar{M}_{\Delta\epsilon(II)} &= \bar{M}_{\Delta\epsilon(I)} - 1 \cdot (x - x_\Delta) = \bar{M}_{\Delta\epsilon(I)} - r (\cos \theta_\Delta - \cos \theta) = \bar{M}_{\Delta\epsilon(I)} - r (\cos \theta_\Delta - \cos \theta) = \\ &= \left[ \frac{r}{2f} \left( \frac{l}{2} - r \cos \theta_\Delta \right) \right] + \left[ r \left( \frac{1}{2} - \frac{r}{l} \cos \theta_\Delta \right) \right] \cos \theta + C_{\Delta 3} \sin \theta; \end{aligned}$$

$$\bar{Q}_{\Delta\epsilon(II)} = \bar{Q}_{\Delta\epsilon(I)} - 1 \cdot \cos \theta = \left( \frac{1}{2} + \frac{r}{l} \cos \theta_\Delta \right) \sin \theta - \frac{l}{4f} \left( \frac{4f}{l} + 1 - \frac{2r}{l} \cos \theta_\Delta \right) \cos \theta; \quad (3)$$

$$\bar{N}_{\Delta\epsilon(II)} = -R_A \cos \theta - H_A \sin \theta + 1 \cdot \cos \theta = -\frac{l}{4f} \left( 1 - \frac{2r}{l} \cos \theta_\Delta \right) \sin \theta + \left( \frac{1}{2} - \frac{r}{l} \cos \theta_\Delta \right) \cos \theta.$$

Полученные зависимости изменения усилий от единичной силы (1)–(3) и зависимости внутренних сил от действия внешней нагрузки, которые определены в работе [2], подставляем в формулу Мора (1) и, выполняя интегрирование выражений, можем получить вертикальные перемещения любой точки системы.

Для определения горизонтальных перемещений сечений с использованием формулы Мора (1) приложим к точке на оси сечения горизонтальную единичную силу (рисунок 2), от ее действия найдем зависимости изменения усилий.

Опорные реакции найдем из уравнения равновесия арки в целом и ее полуарок:

$$R_A = R_B = \frac{r}{l} \left( \cos \theta_\Delta - 1 + \frac{f}{r} \right); \quad H_B = \frac{r}{2f} \left( 1 + \frac{f}{r} - \cos \theta_\Delta \right); \quad H_A = \frac{r}{2f} \left( \cos \theta_\Delta - 1 + \frac{f}{r} \right).$$

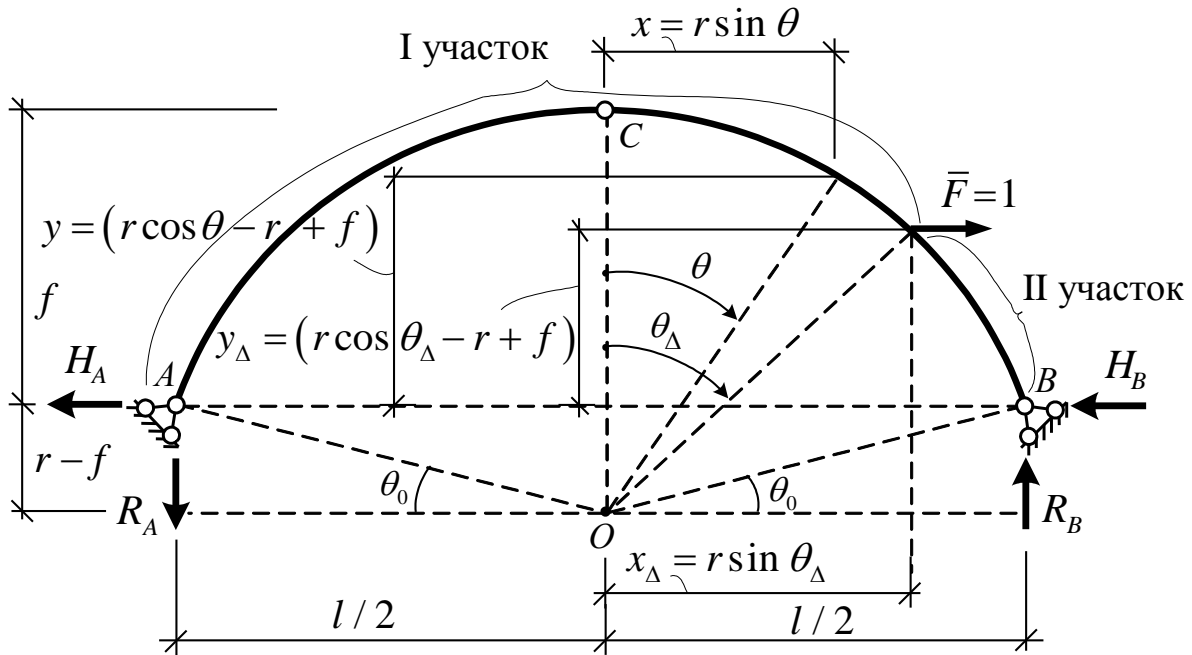


Рисунок 2 – Приложение единичной силы для определения горизонтальных перемещений

Изгибающий момент, продольная и поперечная силы в сечениях арки определяются выражениями:

а) на участке от опоры  $A$  до точки приложения силы (участок I) (рисунок 2):

$$\begin{aligned} \bar{M}_{\Delta z (I)} &= R_A y - H_A x = \frac{y_\Delta}{l} (r \cos \theta - r + f) + \frac{y_\Delta}{2f} r \sin \theta = \\ &= \frac{r^2}{2f} \left[ \left( 1 - \frac{2f}{r} \right) \sin \theta_\Delta - 1 + \frac{f}{r} \right] + r \left[ \frac{r}{2f} (1 - \sin \theta_\Delta) + \frac{1}{2} \right] \sin \theta + r \left[ \frac{r}{l} (\cos \theta_\Delta - 1) + \frac{f}{l} \right] \cos \theta; \\ \bar{Q}_{\Delta z (I)} &= -R_A \cos \theta - H_A \sin \theta = -\frac{y_\Delta}{2f} \sin \theta - \frac{y_\Delta}{l} \cos \theta. \end{aligned} \quad (4)$$

$$\bar{N}_{\Delta z (I)} = -R_A \sin \theta + H_A \cos \theta = -\frac{y_\Delta}{l} \sin \theta + \frac{y_\Delta}{2f} \cos \theta,$$

б) на участке от точки приложения силы до опоры  $B$  (участок II) (рисунок 2):

$$\begin{aligned} \bar{M}_{\Delta z (II)} &= \bar{M}_{\Delta z (I)} - 1 \cdot (y - y_\Delta) = \bar{M}_{\Delta z (I)} - r (\sin \theta - \sin \theta_\Delta) = \\ &= \frac{r^2}{2f} \left[ \sin \theta_\Delta - 1 + \frac{f}{r} \right] + r \left[ \frac{r}{2f} (1 - \sin \theta_\Delta) - \frac{1}{2} \right] \sin \theta + r \left[ \frac{r}{l} (\cos \theta_\Delta - 1) + \frac{f}{l} \right] \cos \theta; \\ \bar{Q}_{\Delta z (II)} &= \bar{Q}_{\Delta z (I)} - 1 \cdot \cos \theta = \frac{r}{l} \left( 1 - \sin \theta_\Delta - \frac{f}{r} \right) \sin \theta + \frac{r}{2f} \left( 1 - \frac{f}{r} - \sin \theta_\Delta \right) \cos \theta; \end{aligned} \quad (5)$$

$$\bar{N}_{\Delta z (II)} = R_A \cos \theta + H_A \sin \theta - 1 \cdot \sin \theta = \frac{r}{l} \left( 1 - \sin \theta_{\Delta} - \frac{f}{r} \right) \cos \theta + \frac{r}{2f} \left( 1 - \frac{f}{r} - \sin \theta_{\Delta} \right) \sin \theta.$$

Полученные зависимости изменения усилий от единичной силы и зависимости внутренних сил от действия внешней нагрузки, определенные в работе [2], подставляем в формулу Мора (1) и, выполняя интегрирование выражений, можем получить горизонтальные перемещения любой точки системы.

Полные перемещения точек определяются по формуле:

$$\Delta = \sqrt{(\Delta^{верт})^2 + (\Delta^{гор})^2}. \quad (6)$$

На основе полученных зависимостей для арки, представленной на рисунке 3 (ввиду симметричности системы показываем ее половину) и выполненной из стального двутавра № 50, выполним расчет перемещений сечений с шагом  $\Delta\theta = 10^\circ$ , результаты которого представлены в таблице 1.

Таблица 1 – Перемещения узловых точек арки, м

№ узла	1	2	3	4	5	6	7
Перемещение							
по горизонтали	0	-0,0274	-0,0381	-0,0314	-0,0172	-0,0046	0,0
по вертикали	0	0,0192	0,0296	0,0204	-0,0108	-0,0572	-0,1092
полное		0,0330	0,0482	0,0374	0,0203	0,0579	0,1092

№ узла	8	9	10	11	12	13
Перемещение						
по горизонтали	-0,0046	-0,0172	-0,0314	-0,0381	-0,0274	0
по вертикали	-0,0572	-0,0108	0,0204	0,0296	0,0192	0
полное	0,0579	0,0203	0,0374	0,0482	0,0330	0

На основании полученных результатов строим в выбранном масштабе деформированный вид арки, представленный на рисунке 4.

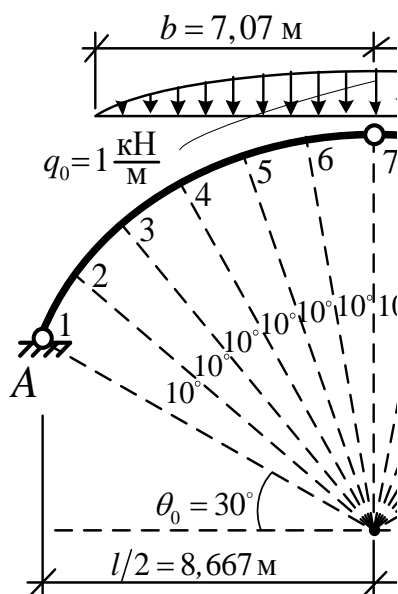


Рисунок 3 – Расчетная схема арки

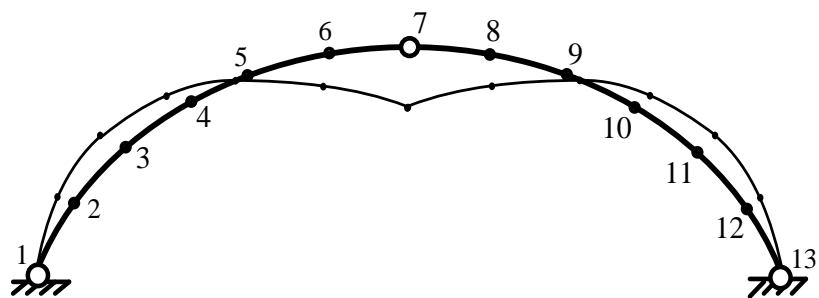


Рисунок 4 – Деформированный вид арки (в масштабе перемещений 7:1)

### Список цитированных источников

1. Игнатюк, В. И. Строительная механика. Статика и устойчивость стержневых систем : учеб.-метод. пособие // В. И. Игнатюк, В. В. Тур / Брест. гос. техн. ун-т. – Брест : БрГТУ, 2022. – 236 с.
2. Бекиш, Е. О. К определению усилий в круговых трехшарнирных арках, нагруженных вертикальными распределенными по параболической зависимости нагрузками / Е. О. Бекиш, А. В. Крук // Сб. конкурс. науч. работ студ. и магистр. / Брест. гос. техн. ун-т. – Брест, 2022.

УДК 624.151.5

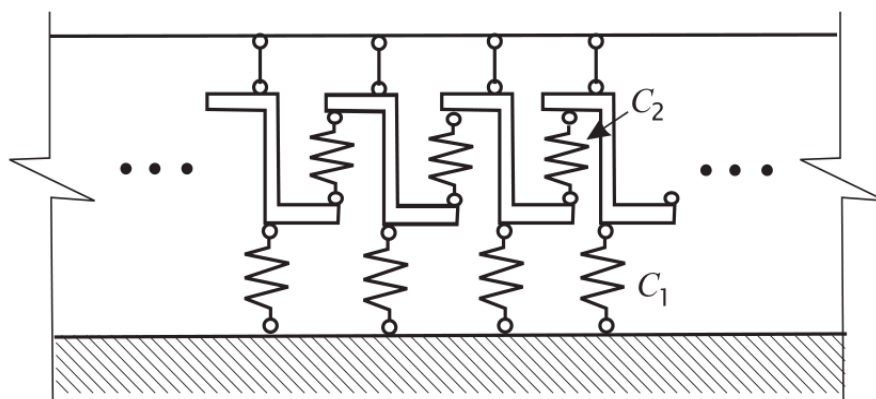
*Аношко-Мостовой Е. А., Забавко А. А.*

*Научный руководитель: ст. преподаватель Бочарова Н. В.*

## РАСЧЕТ МОНОЛИТНОЙ ФУНДАМЕНТНОЙ ПЛИТЫ В ПРОГРАММНОМ КОМПЛЕКСЕ «ЛИРА-САПР»

При расчете конструкций на упругом основании возникают проблемы учета распределительных свойств основания, которые игнорируются в простейшем случае винклерова основания. Большинство реальных грунтов обладает распределительной способностью, когда, в отличие от винклеровой расчетной схемы, в работу вовлекаются не только непосредственно нагруженные части основания, но и примыкающие к ним области ненагруженного грунта. Следовательно, для учета распределительной способности основания необходимо, во-первых, использовать модели основания, отличные от винклеровой, и, во-вторых, ввести в расчетную схему те части основания, которые расположены за пределами фундаментной конструкции [1].

На сегодняшний день известны десятки предложений по совершенствованию механической модели грунтового основания, но, по-видимому, следующим по простоте математической постановки задачи после винклеровой модели шагом явилась разработка модели упругого основания с двумя коэффициентами постели (рисунок 1). Модель основания с двумя коэффициентами постели позволяет учитывать распределительную способность грунта. В этой модели z-образные абсолютно жесткие элементы соединены с землей совокупностью пружин, являющихся дискретным аналогом коэффициента  $C_1$  (характеризующего жесткость основания на сжатие), тогда как пружины, расположенные между соседними z-образными элементами, служат дискретным аналогом коэффициента  $C_2$  (характеризующего жесткость основания на сдвиг)



*Рисунок 1 – Модель основания с двумя коэффициентами постели  $C_1$ ,  $C_2$*